

RED DE CONTROL SÍSMICO DE LA CUENCA DEL RÍO ARAGÓN

Parte de actividad quincenal: 16 al 31 de Octubre de 2011

1- RED SÍSMICA

La Red de Control Sísmico de la Cuenca del Río Aragón está compuesta por 16 estaciones de registro de velocidad (corto periodo y banda ancha) y 11 estaciones de registro de aceleración, según se muestra en la Figura 1, dividida en dos zonas. En la actualidad, la situación en la que se encuentra la red es la que se plasma en la Figura 1.

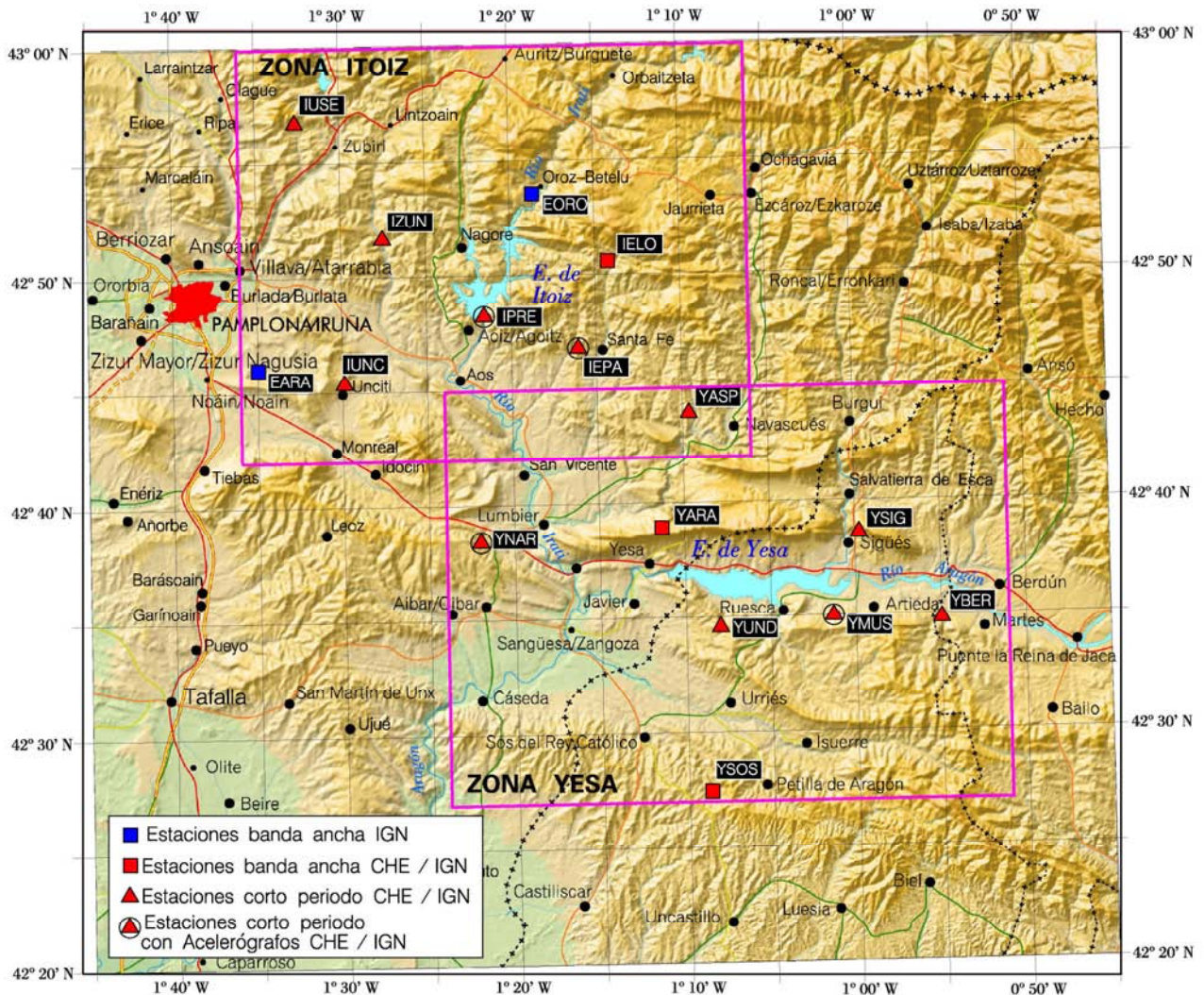


Figura 1.- Configuración y estado de la instalación de la red Sísmica del Río Aragón.

El nivel de operatividad del conjunto de la red ha sido del 87,50% según se muestra en la Figura 2.

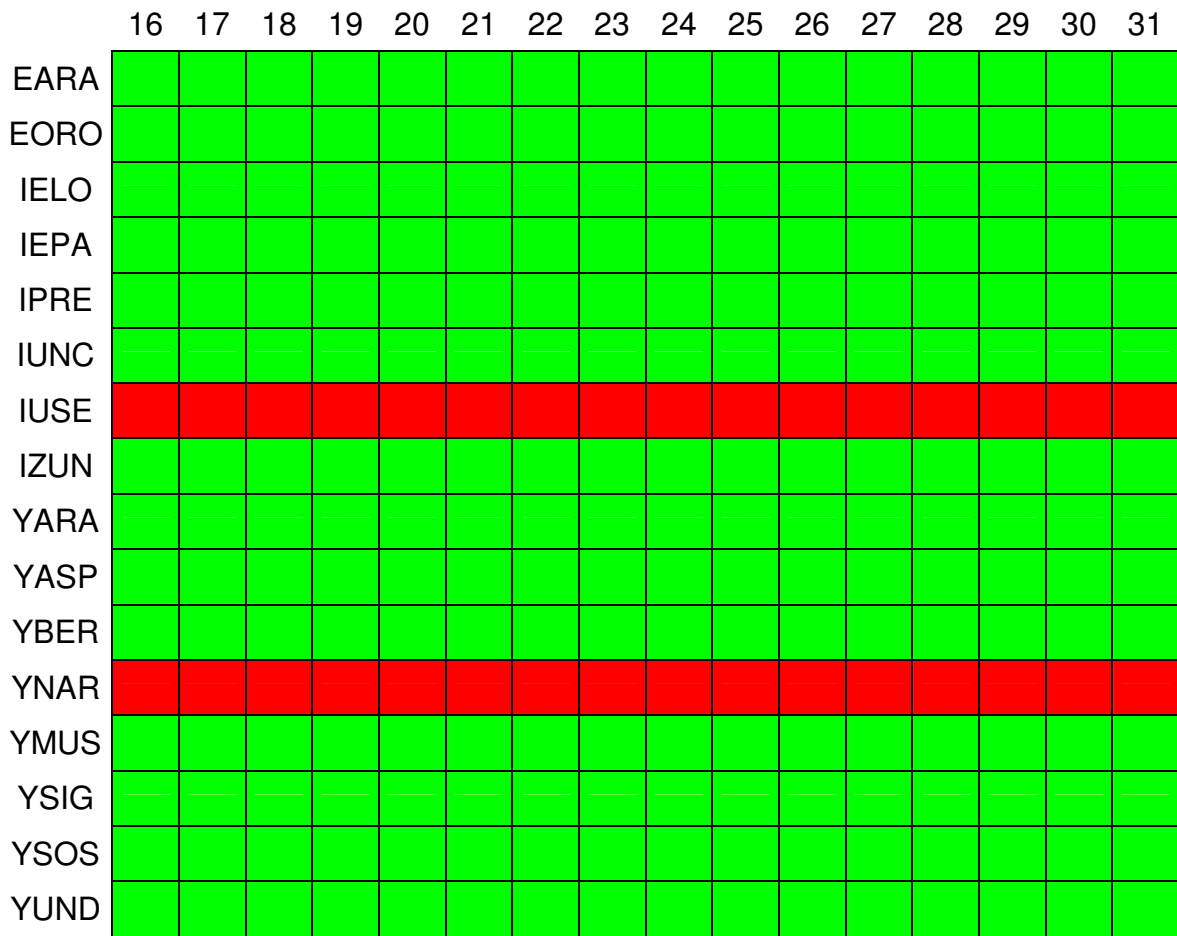


Figura 2.- Operatividad de las estaciones. Se señala en color rojo el periodo de tiempo en el que se interrumpe la secuencia de datos, por problemas en la instrumentación o en la transmisión.

2- ZONA DEL EMBALSE DE ITOIZ (PARALELOS 42.7N-43.0N, MERIDIANOS 1.6W-1.1W)

ACTIVIDAD SÍSMICA DEL PERIODO QUINCENAL 16 AL 31 DE OCTUBRE DE 2011.

En este periodo se han localizado en la zona próxima al embalse de Itoiz 16 terremotos entre las magnitudes de 0,6 y 1,8:

<u>Fecha</u>	<u>Hora (TU)</u>	<u>Lat.</u>	<u>Lon.</u>	<u>Mag</u>	<u>Localización</u>
19-OCT	02:05:33	42,84	-1,49	0,9	NE EGÜÉS.NA
21-OCT	22:33:53	42,81	-1,23	1,0	NE SANTA FE.NA

22-OCT	05:53:25	42,81	-1,42	0,7	NE LIZOÁIN.NA
23-OCT	19:20:50	42,82	-1,36	1,0	SE NAGORE.NA
23-OCT	21:28:16	42,83	-1,42	0,8	NE LIZOÁIN.NA
27-OCT	14:17:08	42,92	-1,49	0,8	SE ZUBIRI.NA
27-OCT	23:38:06	42,82	-1,41	1,4	NW AOIZ/AGOITZ.NA
27-OCT	23:41:18	42,89	-1,50	0,9	SW ZUBIRI.NA
28-OCT	01:09:47	42,83	-1,42	0,6	NE LIZOÁIN.NA
28-OCT	03:08:45	42,85	-1,29	0,9	S OROZ-BETELU.NA
28-OCT	07:33:16	42,88	-1,51	1,0	SW ZUBIRI.NA
28-OCT	09:40:41	42,83	-1,39	1,3	SW NAGORE.NA
29-OCT	19:12:32	42,89	-1,35	0,8	W OROZ-BETELU.NA
30-OCT	01:04:38	42,96	-1,58	0,9	E OLAGUE.NA
31-OCT	09:26:39	42,81	-1,41	1,8	NE LIZOÁIN.NA
31-OCT	09:38:06	42,91	-1,46	0,8	SE ZUBIRI.NA

En la Figura 3 se muestra su distribución epicentral.

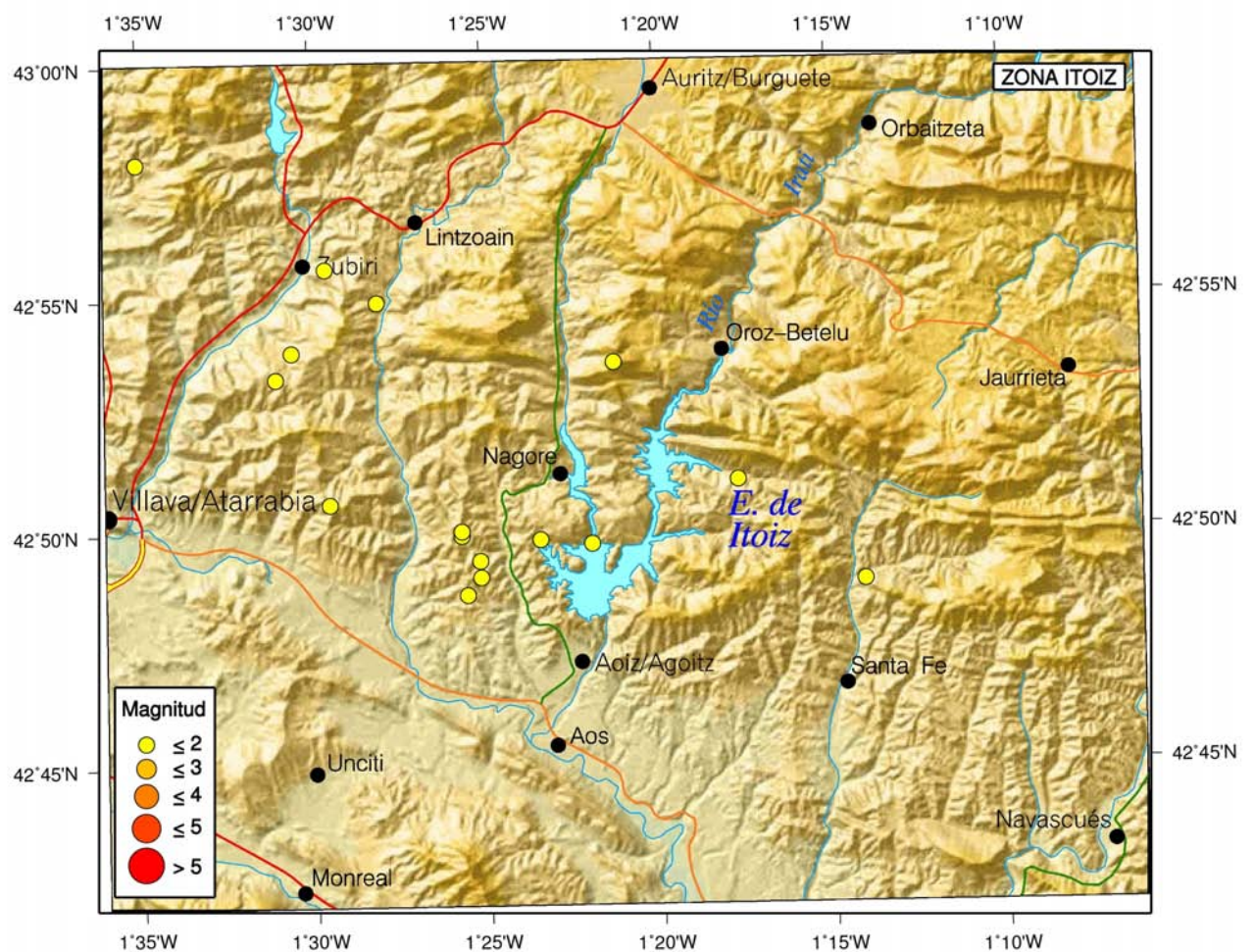


Figura 3.- Terremotos localizados en el periodo del 16 al 31 de octubre de 2011 en la zona de Itoiz, limitada por los paralelos 42,7N-43,0N y los meridianos 1,6W-1,1W.

En la Figura 4 se muestra la distribución temporal de estos terremotos.

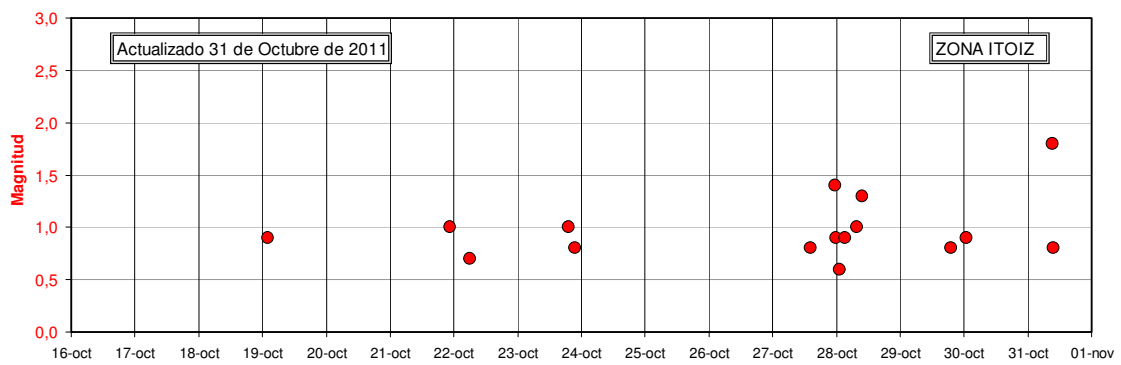


Figura 4.- Distribución temporal de los terremotos localizados en el periodo del 16 al 31 de octubre de 2011 en la zona de Itoiz, limitada por los paralelos 42,7N-43,0N y los meridianos 1,6W-1,1W.

En las Figuras 5 y 6 se muestran sendos gráficos actualizados de la distribución temporal de la actividad sísmica junto con la curva de llenado del embalse de Itoiz.

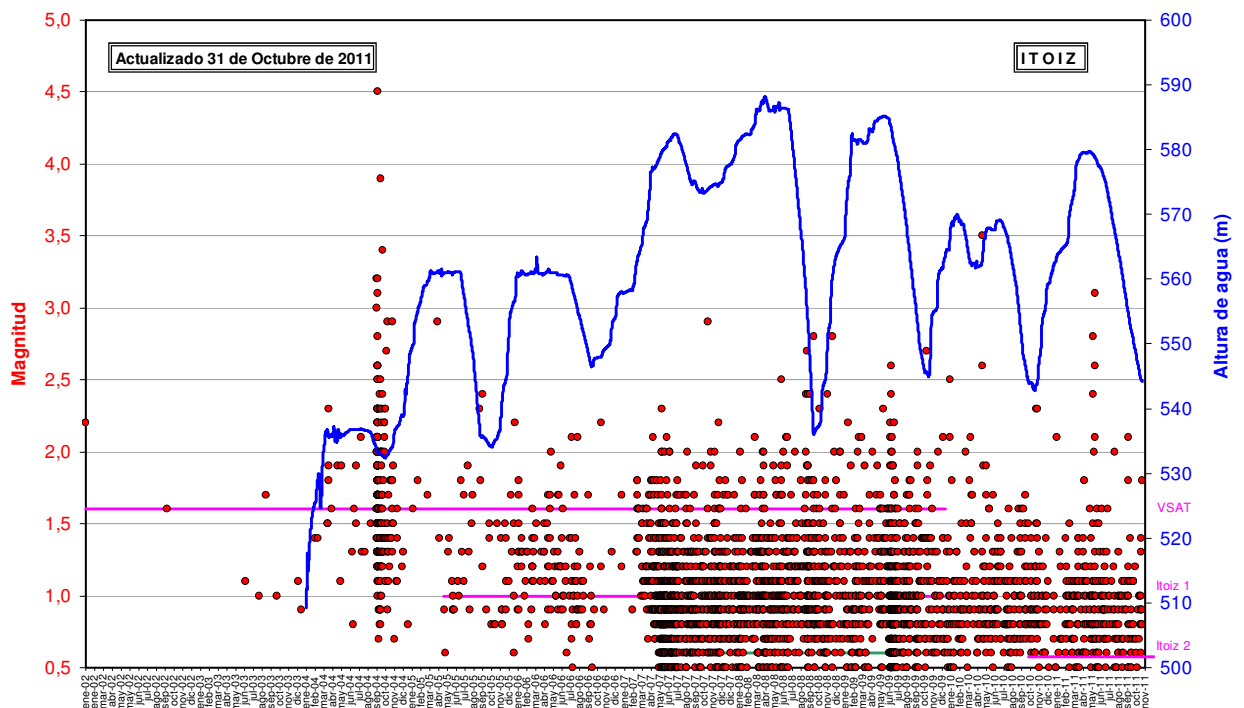


Figura 5.- Distribución temporal de los terremotos localizados en el periodo desde el 1 de enero de 2002 al 31 de octubre de 2011 en la zona de Itoiz, limitada por los paralelos 42,7N-43,0N y los meridianos 1,6W-1,1W, junto con la curva de llenado del embalse de Itoiz.

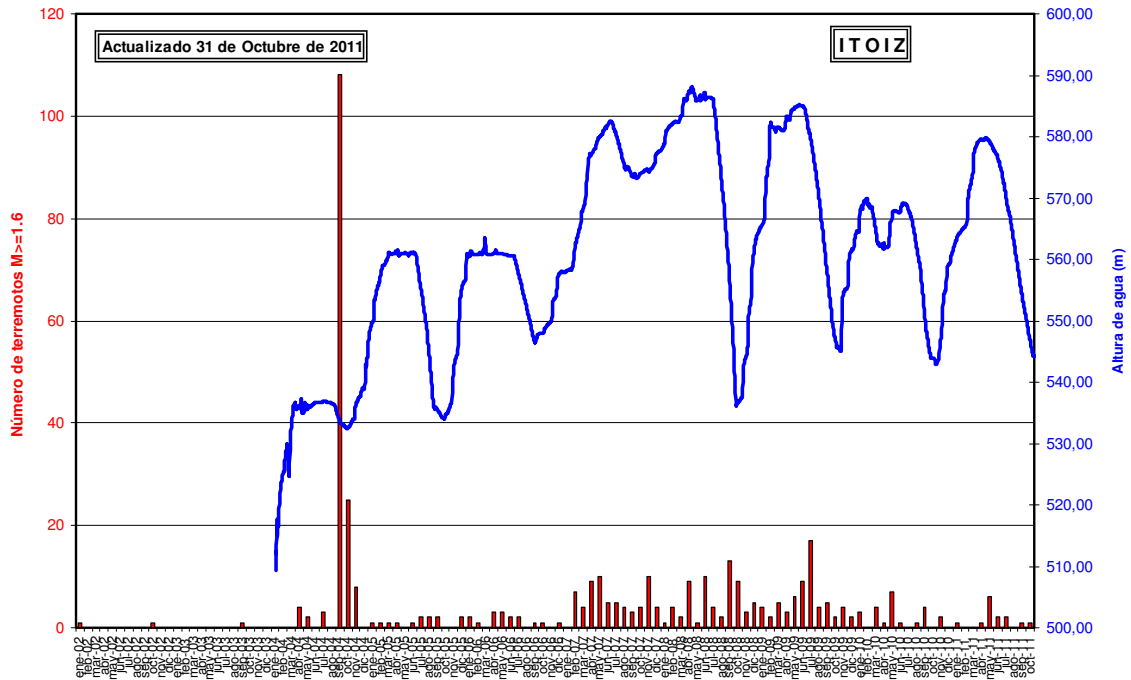


Figura 6.- Distribución temporal del número de terremotos al mes localizados en el periodo desde el 1 de enero de 2002 al 31 de octubre de 2011 en la zona limitada por los paralelos 42,7N -43,0N y los meridianos 1,6W -1,1W, junto con la curva de llenado.

3- ZONA DEL EMBALSE DE YESA (PARALELOS 42.45N-42.75N, MERIDIANOS 1.4W-0.85W)

ACTIVIDAD SÍSMICA DEL PERIODO QUINCENAL 16 AL 31 DE OCTUBRE DE 2011

En este período se han localizado en la zona próxima al embalse de Yesa 1 terremoto de magnitud 0,6:

<u>Fecha</u>	<u>Hora (TU)</u>	<u>Lat.</u>	<u>Lon.</u>	<u>Mag</u>	<u>Localización</u>
16-OCT	14:18:14	42,67	-1,15	0,6	SW NAVASCUÉS.NA

En la Figura 7 se muestra su distribución epicentral.

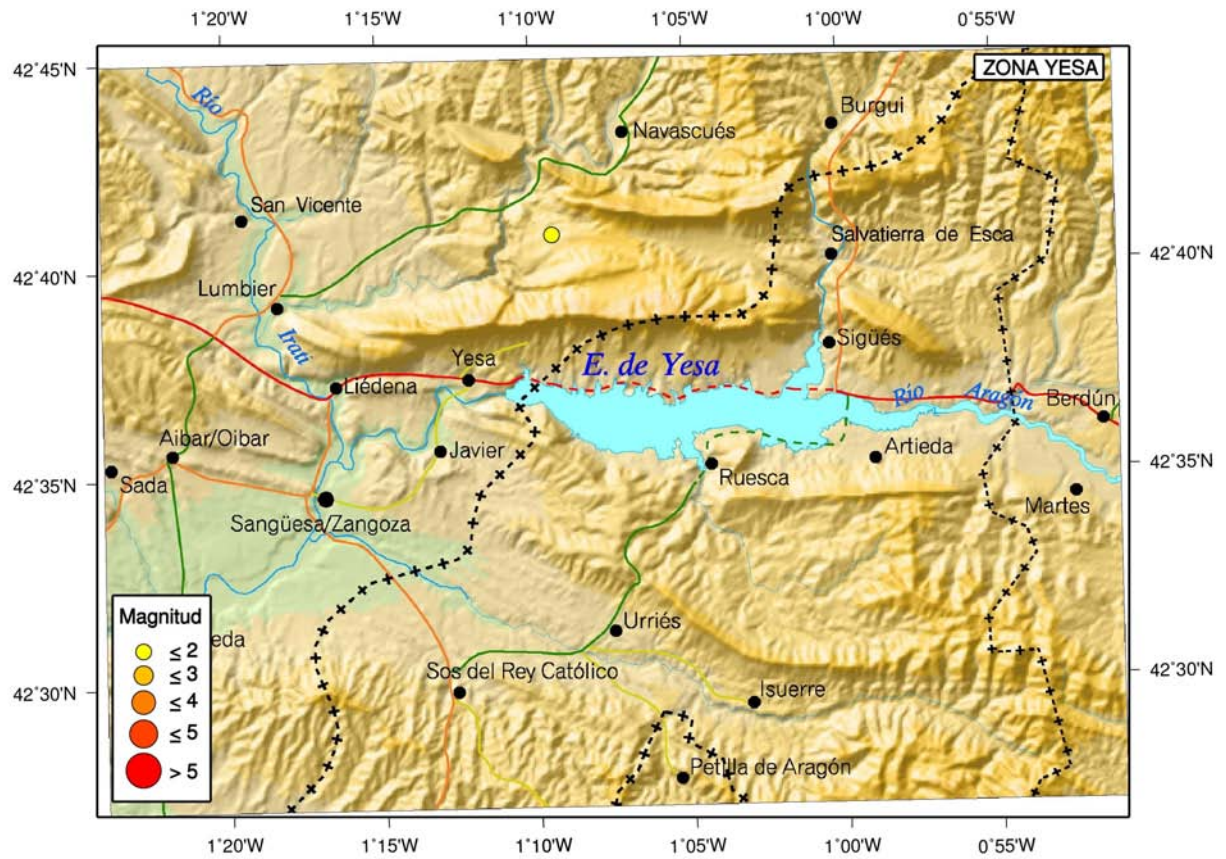


Figura 7.- Terremotos localizados en el periodo del 16 al 31 de octubre de 2011 en la zona de Yesa, limitada por los paralelos 42,45N-42,75N y los meridianos 1,4W-0,85W.

En la Figura 8 se muestra la distribución temporal de estos terremotos.

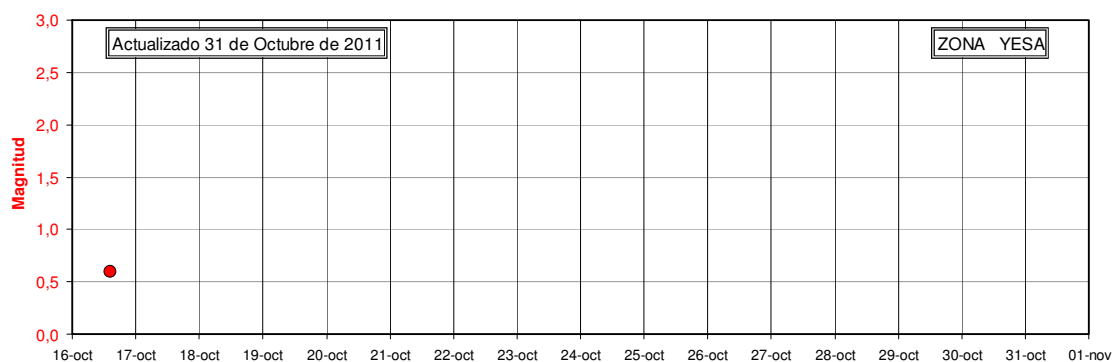


Figura 8.- Distribución temporal de los terremotos localizados en el periodo del 16 al 31 de octubre de 2011 en la zona de Yesa, limitada por los paralelos 42,45N-42,75N y los meridianos 1,4W-0,85W.

En las Figuras 9 y 10 se muestran sendos gráficos actualizados de la distribución temporal de la actividad sísmica junto con la curva de llenado del embalse de Itoiz.

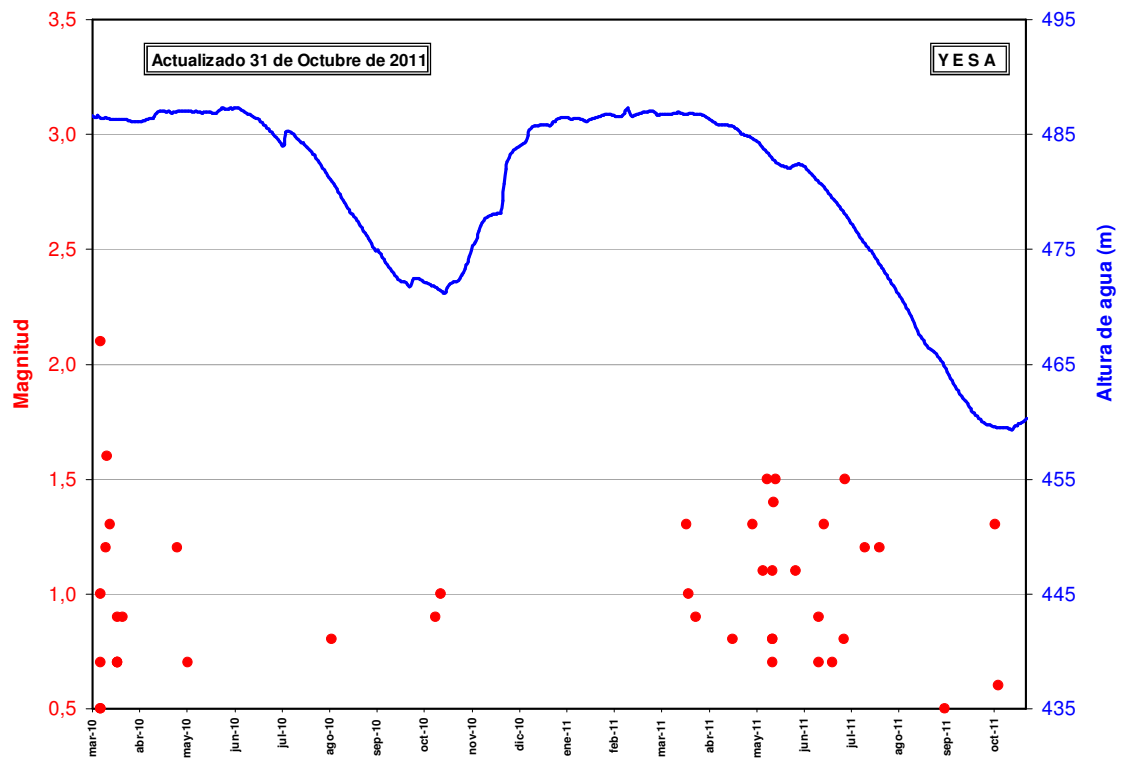


Figura 9.- Distribución temporal de los terremotos localizados en el periodo desde el 1 de marzo de 2010 al 31 de octubre de 2011 en la zona de Itoiz, limitada por los paralelos 42,45N-42,75N y los meridianos 1,4W-0,85W, junto con la curva de llenado del embalse de Itoiz.

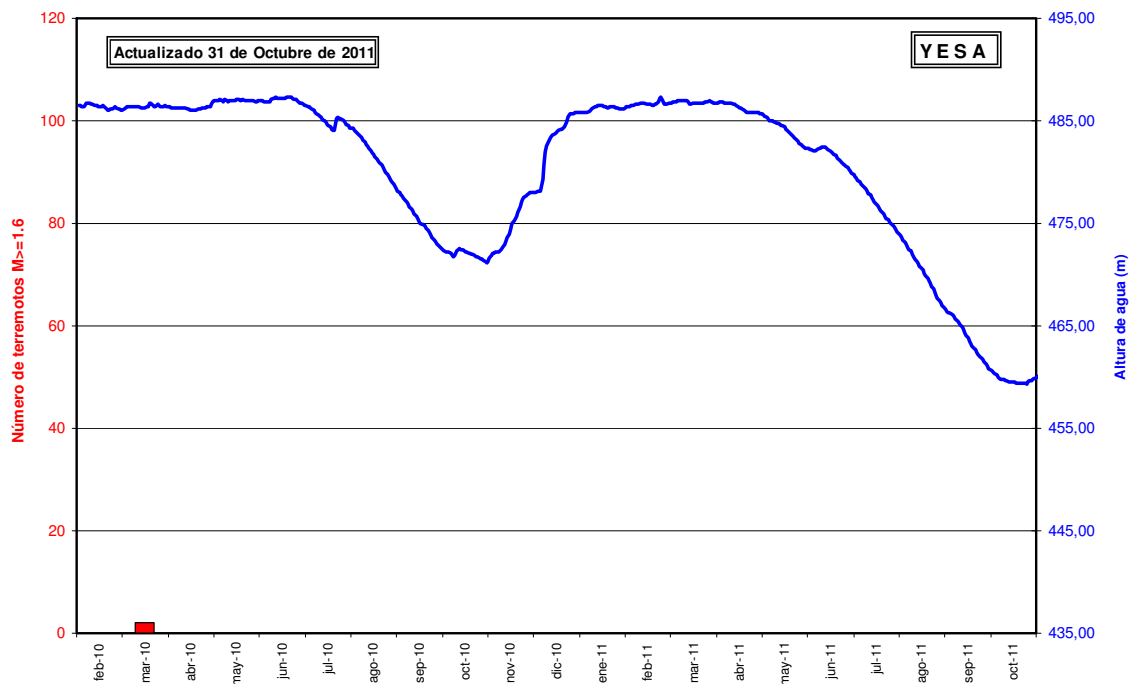


Figura 10.- Distribución temporal del número de terremotos al mes localizados en el periodo desde el 2 de febrero de 2010 al 31 de octubre de 2011 en la zona limitada por los paralelos 42,45N-42,75N y los meridianos 1,4W-0,85W, junto con la curva de llenado.